

$$I = i_1 < i_2 < \dots < i_k \leq n \Rightarrow \text{VEG}(k, n) \text{ con base } \{v_{i_1}, \dots, v_{i_k}\}$$

\uparrow

entonces la coord. correspondiente a I de la
imagen de $V = v_{i_1} \wedge \dots \wedge v_{i_k} \in \Lambda^k A^n$
 $= \sum_{1 \leq j_1 < \dots < j_k \leq n} \lambda_{j_1, \dots, j_k} e_{j_1, \dots, j_k}$

$\Delta_I(V) = \Delta_{i_1, \dots, i_k}(V) = \lambda_I$

$V \rightarrow$ base $u_1, \dots, u_n \rightarrow M_V$ matriz $k \times n$
expresar en la base canónica e_1, \dots, e_n

$$\Delta_I(V) = \det(\underbrace{M_V|_{[k], I}}_{\text{submatriz de } M_V \text{ con columnas indexadas por } I})$$

submatriz de M_V con columnas indexadas por I

Ejemplo: $M_V = \begin{pmatrix} 1 & 2 & 3 & 4 \\ 0 & 0 & 1 & 2 \\ 3 & 0 & 1 & 4 \end{pmatrix}, \Delta_{13}(M_V) = \det \begin{pmatrix} 0 & 1 \\ 3 & 1 \end{pmatrix}$

Varietades de bandera

20/8/2025

- La bandera completa $\mathcal{F}\ell(V)$, V esp. vect.

$$\bigcap_{k=1}^{n-1} \text{Gr}(k, V)$$

consiste de $V_1 \subset V_2 \subset \dots \subset V_{n-1} \subset V$ $\dim V_i = i$

$$\mathcal{F}\ell_n := \mathcal{F}\ell(A^n)$$

- Las variedades de banderas parciales con n-fachón para $1 \leq k_1 < k_2 < \dots < k_p \leq n-1$

$\mathcal{F}_n(k_1, \dots, k_p; V) \subset \prod_{i=1}^p \text{Gr}(k_i; V)$

consiste de banderas parciales

$$V_1 \subset V_2 \subset \dots \subset V_p \quad \dim V_i = k_i$$

para cada $I \subset [n] \quad 0 < |I| < n$

tendremos la coord. de Plücker Δ_I

→ tenemos el encaje de Plücker para las variaciones de bandera

Tenemos una acción de Glu en $\text{Gr}(k, n)$

y $\mathcal{F}_n \rightarrow$ es licenciosa

⇒ \mathcal{F}_n es un cociente de Glu
por un grupo isotropo

Convención: escogiendo una base $\{e_1, \dots, e_n\}$ de \mathbb{A}^n
la bandera estándar es

$$\langle e_1 \rangle \subset \langle e_1, e_2 \rangle \subset \dots \subset \langle e_1, \dots, e_{n-1} \rangle$$

|| || "

V₁ V₂ V_{n-1}

⇒ B_+ son estabilizadores de la band. est.

$$\Rightarrow \mathcal{F}_n = \text{Glu}/B_+$$

⇒ banderas son de forma $g B_+$

$g B_+$ corresponde a la bandera $V_1 \subset \dots \subset V_{n-1}$
con V_k generado por los k primeras
columnas de g al lado izquierdo

Una coordenada de Pleider Δ_I es el menor de g con filas en I y columnas $[k]$

§1.4 Descomposición de Bruhat

Teorema/Def. Las matrices de permutaciones $w \in S_n$ son un conjunto de representantes de las clases doble de:

$$B_{\pm} \backslash G_{\mathrm{L}n} / B_{\pm}$$

Es decir, $G_{\mathrm{L}n} = \bigsqcup_{w \in S_n} B_{\pm} w B_{\pm}$

se llama la descomposición de Bruhat

$$B_{\pm} w B_{\pm}$$

Prop: Sea $g \in G_{\mathrm{L}n}$. $g \in B_{-} w B_{+}$

$\Leftrightarrow \forall 0 < i, j < n$ la submatriz $i \times j$ (desde la esquina superior-izquierda) de g tiene rango $\#([i:j] \cap w[j:i])$

$$\#([i:j] \cap w[j:i])$$

Similar, $g \in \overline{B_{-} w B_{+}} \Leftrightarrow \forall 0 < i, j < n$

la submatriz $i \times j$ (de la esq. sup-izq.) de g tiene rango $\leq \#([i:j] \cap w[j:i])$

Definimos la matriz de rango de w es

$$r(w)_{ij} = \#([i:j] \cap w[j:i])$$

por convención $r_{0j} = r_{i0} = 0$

observa: $\boxed{r_{nn} = r_{00} = k}$

Ejemplo:

$$w = s_1 s_2 s_3 = 2341 \in S_4$$

$$r(w) = \begin{pmatrix} 0 & 1 & 2 & 3 & 4 \\ 0 & 0 & 0 & 0 & 0 \\ 0 & 0 & 0 & 0 & 1 \\ 0 & 1 & 1 & 1 & 2 \\ 0 & 1 & 2 & 2 & 3 \\ 0 & 2 & 3 & 4 & 0 \end{pmatrix}$$

$$g = \begin{pmatrix} 0 & 0 & 0 & 1 \\ 2 & 1 & 3 & 0 \\ 1 & 2 & 6 & 1 \\ 0 & 0 & 1 & 1 \end{pmatrix} \in B_{wB^+}$$

rango 1

 \Rightarrow menor $2 \times 2 = 0$
 $x_{11}x_{22} - x_{21}x_{12} \in k[x_{ij} : 1 \leq i, j \leq 4]$
 $g' = \begin{pmatrix} 0 & 0 & 0 & 1 \\ 2 & 1 & 3 & 0 \\ 1 & 2 & 6 & 1 \\ 0 & 0 & 0 & 1 \end{pmatrix} \in \overline{B-wB^+}$

Teorema El ideal de $\overline{B-wB^+}$ que $\text{Mat}_{n \times n} = A^{n^2}$ (espacio afín) es generado por los menores

$$(\#([i] \cap w[j]) + 1) \times (\#([i] \cap w[j]) + 1)$$

contenidos en la esq. izq: sup. de la submatriz $i \times j$.

O en el anillo $k[x_{ab} : 1 \leq a, b \leq n]$

Prop:

$$\overline{B_{\pm} \vee B_{\mp}} = \bigsqcup_{u \preceq v} B_{\pm} \cup B_{\mp}$$

el mismo signo

$$\overline{B_{\pm} \vee B_{\mp}} = \bigsqcup_{u \succ v} B_{\pm} \cup B_{\mp}$$

signo diferente

$$\text{Además, } \dim B \pm \vee B \mp = \binom{n+1}{2} + l(\nu)$$

$$\dim B \pm \vee B \mp = n^2 - l(\nu)$$

Definición en $\text{Fl}_n = \text{Glu}/B_+$ definimos

$$\text{las células de Schubert } \overset{\circ}{X}{}^w = (B + wB_+)/B_+$$

$$\text{y } \overset{\circ}{X}{}_w = (B - wB_+)/B_+$$

y las variedades de Schubert

$$X^w = \overline{B_+ w B_+}/B_+$$

$$X_w = \overline{B - w B_+}/B_+$$

Prop: La caja de Schubert $\overset{\circ}{X}{}^w$ es un espacio afín de dimensión $l(w)$ con elementos son de forma $(w + X)B_+$ con

w la matriz de la permutación

y X es una matriz con entradas no cero en las posiciones $(w(i), j)$ con $1 \leq i < j \leq n$ y $w(j) < w(i)$

$$w(i) < w(j)$$

Ejemplo: Fl_3 tiene $3!$ variedades de Schubert

e $\begin{smallmatrix} & 2 & 1 \\ & \downarrow & \uparrow \\ 2 & 1 & 3 \end{smallmatrix}$

$w = 1 \underline{3} 2$

$3 1 2$

$3 2 1$

$$\begin{array}{cccccc} (w(i), i) \rightarrow & \begin{pmatrix} 1 & 0 & 0 \\ 0 & 1 & 0 \\ 0 & 0 & 1 \end{pmatrix} & \begin{pmatrix} * & 1 & 0 \\ 1 & 0 & 0 \\ 0 & 0 & 1 \end{pmatrix} & \rightarrow \begin{pmatrix} 1 & 0 & 0 \\ 0 & * & 1 \\ 0 & 1 & 0 \end{pmatrix} & \begin{pmatrix} * & 1 & 0 \\ * & 0 & 1 \\ 1 & 0 & 0 \end{pmatrix} & \begin{pmatrix} * & * & * \\ 1 & 0 & 0 \\ 0 & 1 & 0 \end{pmatrix} & \begin{pmatrix} * & * & 1 \\ * & 1 & 0 \\ 1 & 0 & 0 \end{pmatrix} \\ & (w(1), 1) & (w(2), 2) & & (w(3), 3) & & \end{array}$$

$$i=2 \quad (w(i), i) = (3, 2)$$

$$j=2 \times j \neq i$$

$$j=3 \quad w(j)=1 < w(i)=2 \quad \checkmark$$

Prop: $\overset{x_w}{X^w}$ es la cerradura $\overset{o_w}{X^w}$

$$X^w = \bigsqcup_{\substack{v \leq w \\ v \geq w}} \overset{o_v}{X^v}$$

Notación: $v B_+ \in X^w \Leftrightarrow v$ es abajo de w
 $v B_+ \in X_u \Leftrightarrow v$ es encima de u

Def:

Variiedades de Schubert en $Gr(k, n)$ son indexadas por $\{I \in \binom{[n]}{k}\}$

$$X_I := \{v \in Gr(k, n) : \Delta_J(v) = 0 \quad J \neq I\}$$

\cup

$$\overset{o}{X}_I \quad \text{donde} \quad \Delta_I(v) \neq 0$$

$X_u \subset Fl_n$ consiste de variedades

$$F_1 \subset F_2 \subset \dots \subset F_{n-1} \quad \text{con} \quad F_k \in X_{U[k]}$$

§1.5 Variiedades de Richardson

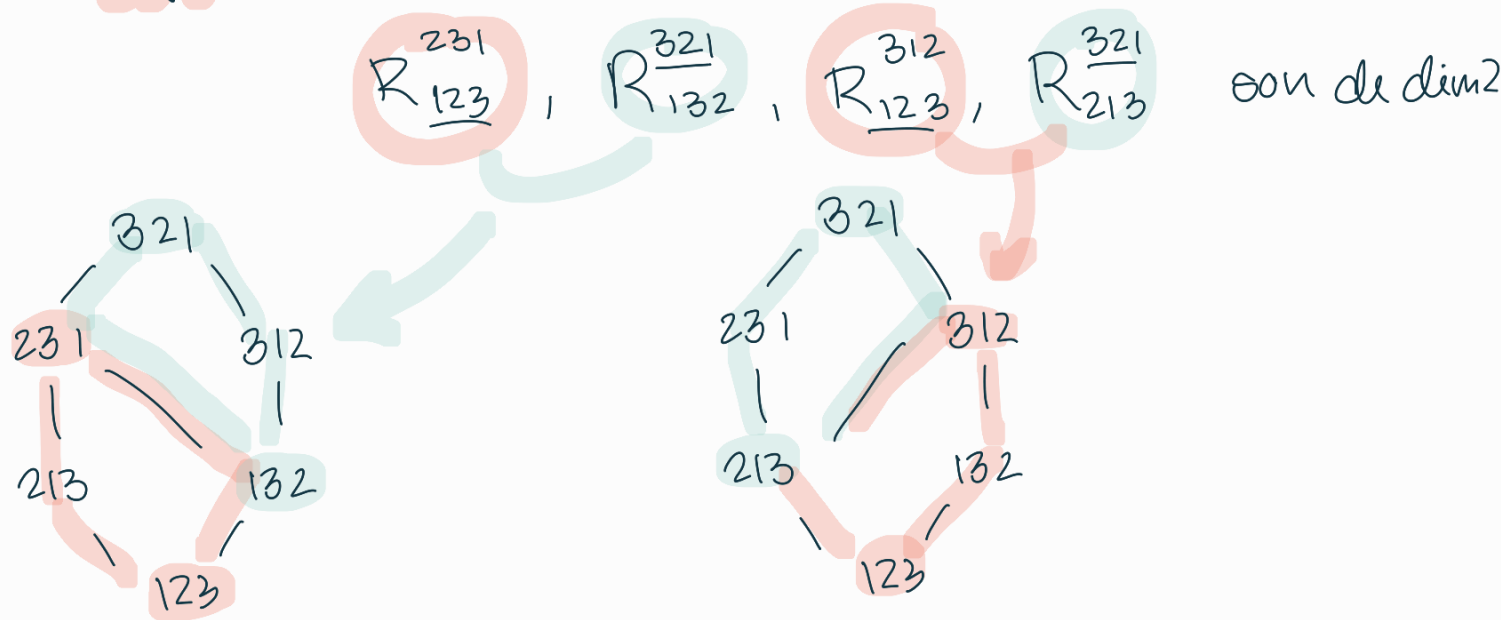
Sean $u \leq w$ en S_n definimos

la variedad de Richardson abierta

$$\overset{o}{R}_u^w = \overset{o}{X}_u \cap \overset{o}{X}^w$$

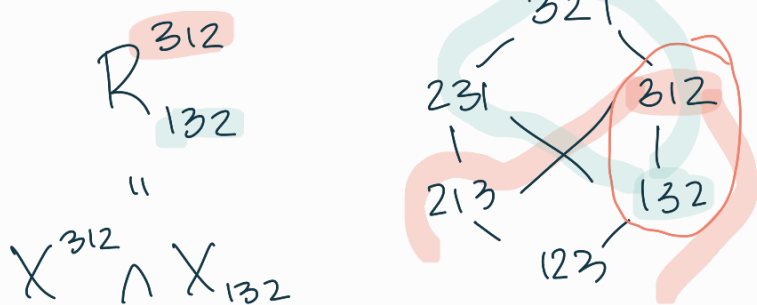
La variedad de Richardson cerrada $R_u^w = X_u \cap X^w$

Ejemplo: Fl_3 es de dim 3



$$X_u = \bigsqcup_{v \succ u} \overset{\circ}{X}_v$$

$$X^w = \bigsqcup_{v \leq w} \overset{\circ}{X}_v$$



$$X^{312} = \overset{\circ}{X}^{312} \sqcup \overset{\circ}{X}^{132} \sqcup \overset{\circ}{X}^{213} \sqcup \overset{\circ}{X}^{123}$$

Observaciones para $u \leq w$

- $NB_+ \in R_u^w \iff u \leq v \leq w$

- $R_u^w = \bigsqcup_{u \leq u' \leq w' \leq w} \overset{\circ}{R}_{u'}^{w'}$

- $\dim \overset{\circ}{R}_u^w = l(w) - l(u)$

- $\overset{\circ}{R}_u^w$ es suaves, irreducibles afines

- R_u^w es irreducible, proyectivo y contiene $\overset{\circ}{R}_u^w$ como un abierto denso

• R_u^w es normal, Cohen-Macaulay con singularidades racionales

En variedades de bandas parciales

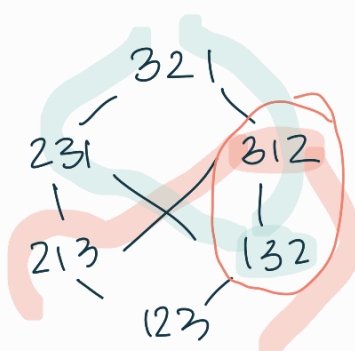
definidas variedades de Richardson proyectadas
a través para $u \leq w$ $\Pi_u^w := \Pi(R_u^w)$

$$\Pi : \mathbb{F}l_n \longrightarrow \mathbb{F}l_n(k_1, \dots, k_p)$$

en el caso de Grassmanniana $G(k|n) = \mathbb{F}l_n(k)$
se llaman variedades positroides

Ejemplo:

$$\mathbb{F}l_3 \curvearrowright R_{132}^{312}$$



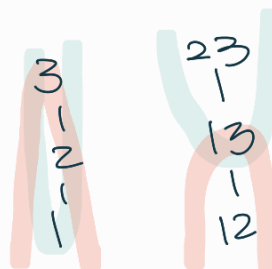
$$\Pi_{132}^{312} \subset \mathbb{F}l_3(1)$$

$$Gr(1,3)$$

$$(F_1, CF_2) \in \mathbb{F}l_3$$

$$X_{132} : F_1 \in X_1, F_2 \in X_{13}, G(1,3)$$

$$\Delta_j = 0 \forall j \notin I$$



$$X^{312} : F_1 \in X^3, F_2 \in X^{13}$$

$$X^w : F_i \in X^{w[i]}$$

$$R_{132}^{312}$$

$$\Delta_{23} = \Delta_{12} = 0$$

$$F_2 : \begin{pmatrix} & & & \\ & x & x & \\ & x & x & \\ & x & x & \\ \end{pmatrix}$$

$$F_2 = \langle e_1, e_3 \rangle$$